

Beiträge zur Arbeitspunktberechnung resistiver Netzwerke

T. Nähring und A. Reibiger

TU Dresden

Camera-ready Copy for

Kleinheubacher Berichte

Manuscript-No. ???

Offset requests to:

T. Nähring,

TU-Dresden, Institut für Grundlagen der Elektrotechnik und Elektronik

Professur für Theoretische Elektrotechnik,

Mommsenstraße 13,

D-01062 Dresden,

Germany

Beiträge zur Arbeitspunktberechnung resistiver Netzwerke

T. Nähring und A. Reibiger

TU Dresden

Zusammenfassung. Anhand zweier Beispiele werden im ersten Teil des Textes mittels SPICE realisierbare Einbettungsverfahren zur Ermittlung aller Arbeitspunkte von einer Klasse resistiver Transistornetzwerke vorgestellt. Die für das Verfahren benötigten Eingangskennlinien können alternativ durch die z. B. in Haase (1982) beschriebene Kurvenverfolgung ermittelt werden. Im zweiten Teil wird ein Einbettungsverfahren zur Festlegung von konsistenten Startwerten und -geschwindigkeiten für dieses Verfahren vorgestellt.

Zusammenfassung. A SPICE-realizable embedding method for the computation of all DC-operating points of a class of transistor networks is proposed. The used driving point characteristics can alternatively be computed utilizing a path following algorithm described in Haase (1982). An embedding method for the determination of consistent initial values and initial velocities is given in the second part of the paper.

1 Einparametrische Einbettungsverfahren

Gegeben sei ein resistives Transistornetzwerk \mathcal{N} . Die Arbeitspunkte von \mathcal{N} sind die Lösungen eines geeigneten Systems

$$F_1(x_1, \dots, x_n) = 0, \dots, F_n(x_1, \dots, x_n) = 0 \tag{1}$$

von n Gleichungen in n Unbekannten. Die Unbekannten x_1, \dots, x_n seien dabei die Zweigspannungen und Zweigströme des Netzwerkes. Die Menge aller Arbeitspunkte ist $\mathcal{L} := \{x \in \mathbb{R}^n | F(x) = 0\}$.

Unter bestimmten Voraussetzungen an die Funktion $f : \mathbb{R}^n \rightarrow \mathbb{R}^{n-1}$ mit $f(x) := (F_1(x), \dots, F_{n-1}(x))$ ist die Menge $\mathcal{L}_f := \{x \in \mathbb{R}^n | f(x) = 0\}$ eine Kurve des \mathbb{R}^n , die sich durch die Zweiggröße x_1 parametrisieren lässt, d. h., es gibt (genau) eine bijektive Funktion $\tilde{x} : \mathbb{R} \rightarrow \mathcal{L}_f$ mit $\tilde{x}_1(x_1) = x_1$ für $x_1 \in \mathbb{R}$. Von der Funktion $g : \mathbb{R}^n \rightarrow \mathbb{R}$ mit $g(x) := F_n(x)$ wird gefordert, dass die zugehörige Lösungsmenge $\mathcal{L}_g := \{x \in \mathbb{R}^n | g(x) = 0\}$ eine Hyperfläche des \mathbb{R}^n beschreibt.

Es gilt $\mathcal{L} = \mathcal{L}_f \cap \mathcal{L}_g$. Die Lösungen von \mathcal{N} sind also die Schnittpunkte der Kurve \mathcal{L}_f mit der Hyperfläche \mathcal{L}_g . Damit korrespondieren genau diejenigen Parameterwerte $x_1 \in \mathbb{R}$ zu Lösungen $\tilde{x}(x_1)$ von \mathcal{N} , für die die Gleichung $g(\tilde{x}(x_1)) = 0$ gilt und die globale n -dimensionale Nullstellensuche für (1) kann auf die „billigere“ globale eindimensionale Nullstellensuche für die Funktion $\tilde{g} : \mathbb{R} \rightarrow \mathbb{R}$ mit $\tilde{g}(x_1) := g(\tilde{x}(x_1))$ zurückgeführt werden (siehe Bild 2a).

Anhand des folgenden einfachen Beispiels, in dem \mathcal{N} das in Bild 1 dargestellte Flipflop ist, soll die Grundidee des weiteren Vorgehens erläutert werden. Mit $g(x) := x_2$ ist $g(x) = 0$ die Verhaltensgleichung des Leerlaufes (Strom $x_2 = 0$).

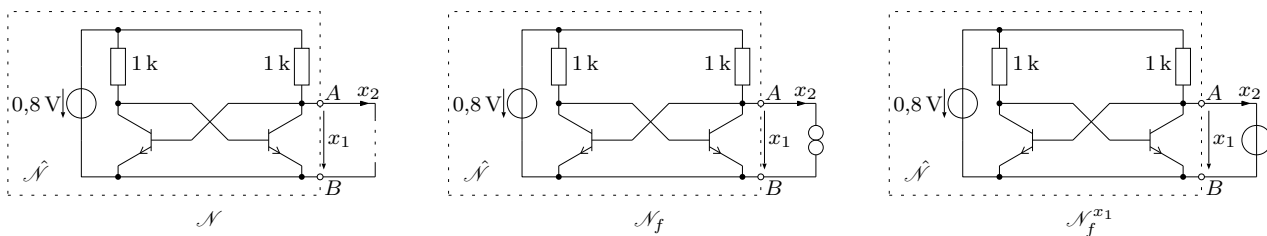


Bild 1. Die Netzwerke \mathcal{N} , \mathcal{N}_f und $\mathcal{N}_f^{x_1}$ für das Beispiel einer einparametrischen Einbettung ($\hat{\mathcal{N}}$: gestrichelt umrahmtes Teilnetzwerk)

Die Menge \mathcal{L}_f ist die Losungsmenge des in Bild 1 dargestellten Netzwerkes \mathcal{N}_f , bei dem der Leerlauf durch einen Norator (Siehe z. B. Mathis (1987); Hasler und Neirynek (1986)) ersetzt wurde. Zur Konstruktion einer naturlichen Parametrisierung wird die Menge \mathcal{L}_f in die Teilmengen $\mathcal{L}_f^{x_1} := \{x' \in \mathbb{R}^n \mid f(x') = 0 \wedge x'_1 = x_1\}$ mit $x_1 \in \mathbb{R}$ zerlegt. Jede dieser Teilmengen $\mathcal{L}_f^{x_1}$ ist Losungsmenge desjenigen Netzwerkes $\mathcal{N}_f^{x_1}$, bei dem der Norator durch eine unabhangige Spannungsquelle mit der eingepragten Spannung x_1 ersetzt ist (Siehe Bild 1).

Mit dem Satz von Nielsen und Willson (siehe Nielsen und Willson (1980)) kann nachgewiesen werden, dass jedes dieser Netzwerke $\mathcal{N}_f^{x_1}$ eine eindeutige Losung hat, d. h., dass $\mathcal{L}_f^{x_1}$ fur jedes $x_1 \in \mathbb{R}$ einelementig ist.

Damit lasst sich \mathcal{L}_f durch die Funktion $\tilde{x} : \mathbb{R} \rightarrow \mathbb{R}^n$, die $x_1 \in \mathbb{R}$ die Losung von $\mathcal{N}_f^{x_1}$ zuordnet, parametrisieren. Mit dem Satz uber implizite Funktionen kann gezeigt werden, dass \tilde{x} eine stetig differenzierbare Kurve ist.

Das Netzwerk \mathcal{N} hat die in Willson (1975) beschriebene so genannte Nichtverstarkungseigenschaft (engl.: ‘no-gain-property’). Damit wird der Bereich, in dem zu Losungen von \mathcal{N} korrespondierende Parameterwerte x_1 liegen konnen, auf das Intervall $[0, 0,8]$ beschrankt (Die obere Intervallgrenze resultiert aus der Betriebsspannung von 0,8 V).

Die Funktion \tilde{g} wurde mittels SPICE numerisch berechnet. Dazu wurde eine DC-Analyse von $\mathcal{N}_f^{x_1}$ mit x_1 als Parameter durchgefuhrt. Der resultierende Graph ist in Bild 2b zu sehen.

Der Graph von \tilde{g} ist die Projektion $\text{pr}_{12} \mathcal{L}_f$ der Losungsmenge von \mathcal{N}_f auf die Komponenten der Noratorspannung x_1 und des Noratorstromes x_2 . Nach Reibiger (1986) beschreibt $\text{pr}_{12} \mathcal{L}_f$ damit das Klemmenverhalten des Teilnetzwerkes $\hat{\mathcal{N}}$ an den Klemmen A und B. Also ist $\text{graph } \tilde{g}$, wie in Reibiger et al. (2001) beschrieben, die Eingangskennlinie eines Zweipols.

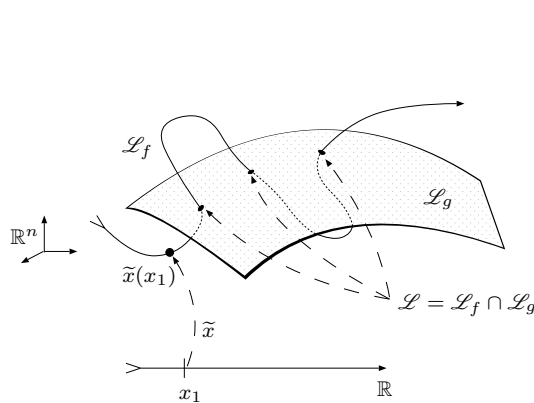


Bild 2a. Veranschaulichung der Kurve \mathcal{L}_f und der Hyperflache \mathcal{L}_g

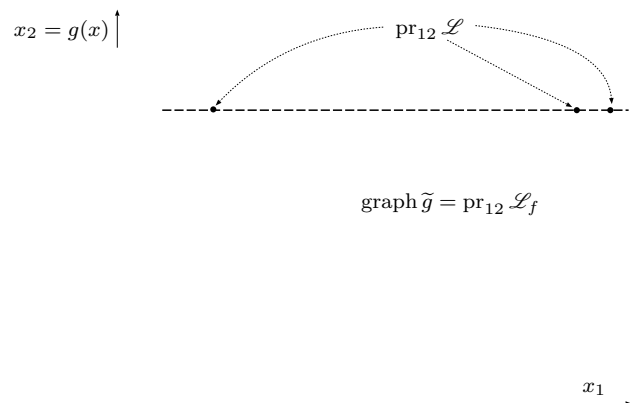


Bild 2b. Der Graph von \tilde{g} (Er ist die Projektion der numerisch berechneten Kurve \mathcal{L}_f auf die x_1 - x_2 -Ebene)

2 Zweiparametrische Einbettungsverfahren

Das folgende Beispiel soll demonstrieren, wie das soeben erlauerte Einbettungsverfahren auf eine groere Klasse von Netzwerken ubertragen werden kann.

In diesem Abschnitt beschreibe das Gleichungssystem (1) die Losungen des Netzwerkes \mathcal{N} aus Bild 3. Aus dem Satz von Nielsen und Willson folgt, dass man bei diesem Netzwerk mindestens zwei Spannungsquellen einfugen muss, um beim so erganzten Netzwerk eine eindeutige Losung zu erzwingen. Aus diesem Grund wird das Gleichungssystem (1) in neuer Weise aufgeteilt.

Mit $F_{n-1}(x) := g_1(x) := x_3$ und $F_n(x) := g_2(x) := x_4$ sind $g_1(x) = 0$ und $g_2(x) = 0$ die Verhaltensgleichungen der zwei in \mathcal{N} enthaltenen Leerlaufe. Die zugehorigen Mengen $\mathcal{L}_{g_1} := \{x \in \mathbb{R}^n \mid g_1(x) = 0\}$ und $\mathcal{L}_{g_2} := \{x \in \mathbb{R}^n \mid g_2(x) = 0\}$ sind Hyperflachen des \mathbb{R}^n .

Die restlichen Gleichungen werden mit $f(x) := (F_1(x), \dots, F_{n-2}(x))$ zu $f(x) = 0$ zusammengefasst. Die Menge $\mathcal{L}_f := \{x \in \mathbb{R}^n \mid f(x) = 0\}$ beschreibt eine zweidimensionale Flache im \mathbb{R}^n und ist die Losungsmenge des Netzwerkes \mathcal{N}_f aus Bild 3. Die Losungsmenge \mathcal{L} von \mathcal{N} genugt der Gleichung $\mathcal{L} = \mathcal{L}_f \cap \mathcal{L}_{g_1} \cap \mathcal{L}_{g_2}$.

Zur Konstruktion einer naturlichen Parametrisierung der Flache \mathcal{L}_f wird \mathcal{L}_f in Teilmengen $\mathcal{L}_f^{x_1, x_2} := \{x' \in \mathbb{R}^n \mid f(x') = 0 \wedge x'_1 = x_1 \wedge x'_2 = x_2\}$ mit $x_1, x_2 \in \mathbb{R}$ zerlegt. Fur $x_1, x_2 \in \mathbb{R}$ ist $\mathcal{L}_f^{x_1, x_2}$ die Losungsmenge des Netzwerkes $\mathcal{N}_f^{x_1, x_2}$, das nach dem Satz von Nielsen und Willson eine eindeutige Losung $\tilde{x}(x_1, x_2)$ hat. Die dadurch definierte Funktion \tilde{x} parametrisiert \mathcal{L}_f . Also kann \mathcal{L}_f durch eine DC-Analyse von $\mathcal{N}_f^{x_1, x_2}$ mit x_1 und x_2 als Parameter numerisch berechnet werden. Eine dreidimensionale Projektion der mittels SPICE berechneten Flache \mathcal{L}_f ist in Bild

4a zu sehen. Die zu Losungen von \mathcal{N} korrespondierenden Parameterwertepaare (x_1, x_2) ergeben sich als Nullstellen der Funktion $\tilde{g} : \mathbb{R}^2 \rightarrow \mathbb{R}^2$ mit $\tilde{g}(x_1, x_2) := (g_1(\tilde{x}(x_1, x_2)), g_2(\tilde{x}(x_1, x_2)))$ fur $x_1, x_2 \in \mathbb{R}$. Der Graph von \tilde{g} ist die Projektion der Losungsmenge von \mathcal{N}_f auf die Komponenten der Noratorspannungen x_1, x_2 und -strome x_3, x_4 . Damit beschreibt graph \tilde{g} das Klemmenverhalten des Teilnetzwerkes $\hat{\mathcal{N}}$ an den Klemmenpaaren A, B und C, D . Als zweidimensionale Flache im \mathbb{R}^4 ist graph \tilde{g} selber nicht grafisch darstellbar, sondern nur seine dreidimensionalen Projektionen. In Bild 4a ist der fur Arbeitspunkte von \mathcal{N} relevante Ausschnitt $(x_1 \in [0, 5], x_2 \in [0, 5])$ der Menge $\text{pr}_{1,3,4} \mathcal{L}_f = \{(x_1, \tilde{x}_3(x_1, x_2), \tilde{x}_4(x_1, x_2)) \in \mathbb{R}^3 \mid x_2 \in \mathbb{R}\}$ zu sehen. Sie ist die Projektion von graph \tilde{g} auf die 1., 3. und 4. Komponente. Die x_1 -Koordinaten aller Nullstellen (x_1^N, x_2^N) von \tilde{g} konnen in zwei Schritten ermittelt werden. Zuerst wird die Hohenlinie von $\text{pr}_{1,3,4} \mathcal{L}_f$ zum Niveau $x_4 = 0$ berechnet. Die Projektion dieser Hohenlinie auf die x_1 - x_3 -Ebene ist die Menge $\text{pr}_{1,3} \mathcal{L}_{f,g_2} = \{(x_1, \tilde{x}_3(x_1, x_2)) \in \mathbb{R}^2 \mid x_2 \in \mathbb{R}, \tilde{g}_2(x_1, x_2) = \tilde{x}_4(x_1, x_2) = 0\}$, die in Bild 4b dargestellt ist. Die Werte x_1^N konnen nun an den Schnittpunkten von $\text{pr}_{1,3} \mathcal{L}_{f,g_2}$ mit der durch die Gleichung $g_1(x) = x_3 = 0$ festgelegten Geraden abgelesen werden. Sie werden im Weiteren als Nullstellen von $\text{pr}_{1,3} \mathcal{L}_{f,g_2}$ bezeichnet.

Fur jeden der so gewonnenen Werte x_1^N ist es moglich, die zugehorigen zweiten Komponenten der Nullstellen (x_1^N, x_2^N) von \tilde{g} als Nullstellen der Funktion $x_2 \mapsto \tilde{g}(x_1^N, x_2)$ zu ermitteln. In Bild 4c ist der berechnete Funktionsverlauf exemplarisch fur die kleinste Nullstelle x_1^N von $\text{pr}_{1,3} \mathcal{L}_{f,g_2}$ aufgetragen. Man erkennt, dass es fur diesen x_1^N -Wert nur eine gemeinsame Nullstelle der zwei Komponenten von $x_2 \mapsto \tilde{g}(x_1^N, x_2)$ gibt. Das Netzwerk \mathcal{N} hat also nur einen Arbeitspunkt x mit $x_1 = x_1^N$. Gleiches erhalt man fur alle weiteren Nullstellen x_1^N von $\text{pr}_{1,3} \mathcal{L}_{f,g_2}$. Damit liest man aus Bild 4b ab, dass das Netzwerk genau neun Arbeitspunkte hat.

Die Menge $\text{pr}_{1,3} \mathcal{L}_{f,g_2}$ ist die Projektion der Losungsmenge \mathcal{L}_{f,g_2} des Netzwerkes \mathcal{N}_{f,g_2} auf die Noratorzweiggroen x_1 und x_3 und beschreibt somit das Klemmenverhalten des Netzwerkes $\hat{\mathcal{N}}$ an den Klemmen A, B bei offen gelassenen Klemmen C, D . Das heit $\text{pr}_{1,3} \mathcal{L}_{f,g_2}$ kann als Eingangscharakteristik eines Zweipols interpretiert werden.

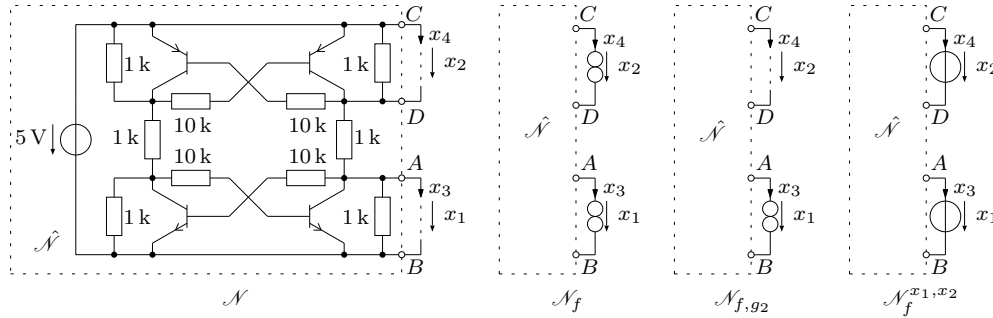


Bild 3. Die Netzwerke \mathcal{N} , \mathcal{N}_f , \mathcal{N}_{f,g_2} und $\mathcal{N}_f^{x_1, x_2}$ fur das Beispiel einer zweiparametrischen Einbettung

3 Kurvenverfolgung von Eingangscharakteristiken

Wie aus Bild 4b folgt, ist die Eingangscharakteristik $\text{pr}_{1,3} \mathcal{L}_{f,g_2}$ nicht durch die Zweigspannung x_1 parametrisierbar. Es ist jedoch moglich, interessierende Teile der Kurve \mathcal{L}_{f,g_2} durch die Bogenlange zu parametrisieren. Dies lasst sich durch ein dynamisches Netzwerk realisieren, dessen Losungen $\tilde{x} : [0, \infty) \rightarrow \mathbb{R}^n$ durch die Verhaltensgleichungen

$$f(\tilde{x}(t)) = 0, \quad g_2(\tilde{x}(t)) = 0, \quad (2)$$

$$\|\dot{\tilde{x}}(t)\| = 1 \quad (3)$$

fur $t \in [0, \infty)$ beschrieben werden. Die Gleichungen (2) gewahrleisten, dass $\tilde{x}([0, \infty))$ in \mathcal{L}_{f,g_2} enthalten ist, und die Gleichung (3) bewirkt, dass die Losungskurven mit einem konstanten Betrag der Geschwindigkeit \tilde{x} durchlaufen werden.

Problematisch ist bei diesem aus der Literatur bekannten Verfahren (siehe Haase (1982)) die Ermittlung eines konsistenten Anfangswertes $\tilde{x}(0)$ und einer konsistenten Anfangsgeschwindigkeit $\dot{\tilde{x}}(0)$. Zur Losung dieses Problems wurde ein als SPICE-Netzliste realisierbares Einbettungsverfahren erganzt.

Der gewunschte Startwert wird als Schnitt der Kurve \mathcal{L}_{f,g_2} mit einer zusatzlichen Hyperflache $\mathcal{L}_h := \{x \in \mathbb{R}^n \mid h(x) = 0\}$ dargestellt und es wird eine Naherung v_0 fur die Anfangsgeschwindigkeit $\dot{\tilde{x}}(0)$ vorgegeben.

Weiterhin wird das dynamische Netzwerk modifiziert, indem die Gleichung (3) durch die zwei Gleichungen

$$\begin{aligned} (1 - \lambda(t)) (v(t) - v_0) + \lambda(t) (v(t) - \dot{\tilde{x}}(t)) &= 0, \\ (1 - \lambda(t)) h(\tilde{x}(t)) + \lambda(t) (\|v(t)\| - 1) &= 0. \end{aligned} \quad (4)$$

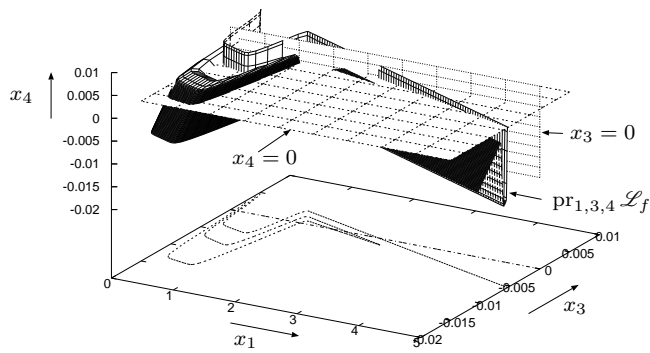


Bild 4a. Proj. des Graphen von \tilde{g} auf die 1., 3. und 4. Komponente, sowie die Proj. der Hohenlinie zum Niveau $x_4 = 0$ auf die x_1 - x_3 -Ebene

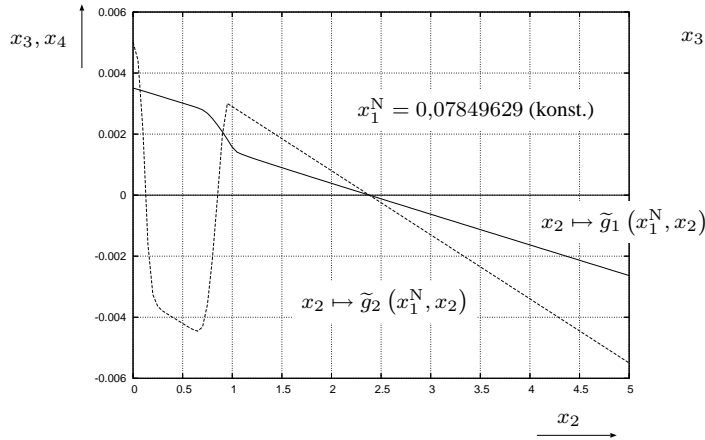


Bild 4c. Die zwei Komponenten der Funktion $x_2 \mapsto \tilde{g}(x_1^N, x_2)$, wie sie sich bei einer DC-Simulation von $\mathcal{N}_f^{x_1, x_2}$ mit x_2 als Parameter und fest vorgegebenem Wert $x_1 = x_1^N$ ergeben haben

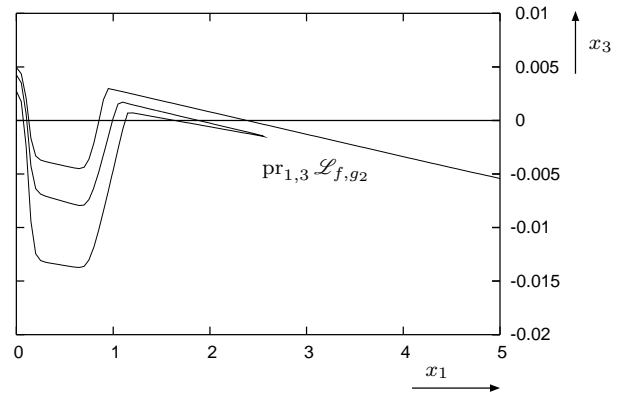


Bild 4b. Projektion von \mathcal{L}_{f,g_2} auf die x_1 - x_3 -Ebene;

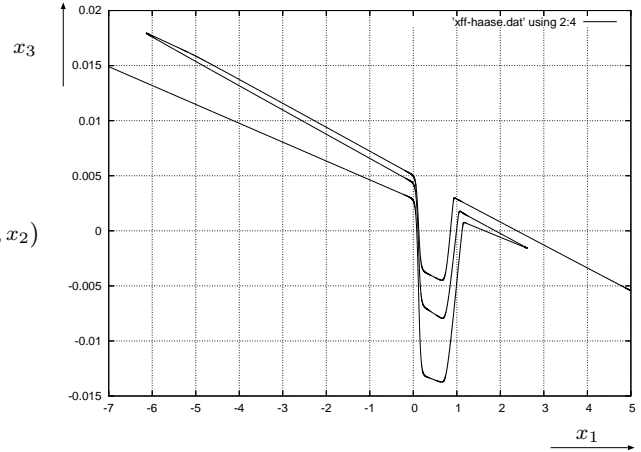


Bild 4d. Projektion des mittels Kurvenverfolgung berechneten Menge \mathcal{L}_{f,g_2} auf die x_1 - x_3 -Ebene

ersetzt wird. In (4) treten zwei zusatzliche Signale λ und v auf. Das stetige Einbettungssignal $\lambda : [0, \infty) \rightarrow \mathbb{R}$, steigt innerhalb eines Zeitintervalls $[0, T_0]$ von $\lambda(0) = 0$ bis auf $\lambda(T_0) = 1$ an und bleibt danach konstant gleich Eins. Der Zeitverlauf des Signals $v : [0, \infty) \rightarrow \mathbb{R}^n$ wird durch die Gleichungen (2,4) beschrieben. Fur $t = 0$ ergeben sich mit $\lambda(0) = 0$ aus (4) die Gleichungen $v(0) = v_0$ und $h(\tilde{x}(0)) = 0$, d. h., $v(0)$ wird mit der Nahrung fur die Anfangsgeschwindigkeit initialisiert und der Punkt $\tilde{x}(0)$ liegt im Schnitt $\mathcal{L}_{f,g_2} \cap \mathcal{L}_h$. Fur $t \geq T_0$ ergeben sich mit $\lambda(t) = 1$ aus (4) die Gleichungen $v(t) = \tilde{x}(t)$ und $\|v(t)\| = 1$, die zusammen der Gleichung (3) entsprechen.

Es ist moglich, in (3) und analog in (4) den Geschwindigkeitsvektor $\tilde{x}(t)$ aller Zweiggroen des Netzwerkes durch den Vektor der Zeitableitungen geeignet gewahlter Zweiggroen zu ersetzen. Zum Beispiel wurde die Kurve \mathcal{L}_{f,g_2} , von der in Bild 4d die zweidimensionale Projektion $\text{pr}_{1,3} \mathcal{L}_{f,g_2}$ zu sehen ist, mit $\text{pr}_{1,2,3} \tilde{x}(t)$ anstelle von $\tilde{x}(t)$ berechnet.

Alle in diesem Artikel vorgestellten Einbettungsverfahren haben sich bei der Arbeitspunktanalyse von zahlreichen weiteren Transistornetzwerken bewahrt.

Schrifttum

- Haase, J., Computation of transfer characteristics of multivalued resistive nonlinear networks, in *Proc. SSCT82, Part: Short Communications*, S. 268–272, Prague, 1982.
- Hasler, M. und Neiryneck, J., *Nonlinear Circuits*, ARTECH HOUSE, INC., 685 Canton Street, Norwood, MA 02062, ISBN 089006-208-0, 1986.
- Mathis, W., *Theorie nichtlinearer Netzwerke*, Springer-Verlag, Berlin, ISBN 3-540-18365-5, 1987.
- Nielsen, R. O. und Willson, A. N., A fundamental result concerning the topology of transistor circuits with multiple equilibria, *Proceedings of the IEEE on Circuits and Systems*, 68, 196–208, 1980.
- Reibiger, A., Uber das Klemmenverhalten von Netzwerken, *Wiss. Z. TU Dresden*, 37, 165–173, 1986.
- Reibiger, A., Mathis, W., Nahrung, T., Kronenberg, L., und Trajkovic, L., Mathematical foundations of the tc-method for computing multiple dc-operating points, in *Proceedings of ISTET'01*, Linz/Austria, 2001.
- Willson, A. N., The no-gain property for networks containing three-terminal elements, *IEEE Transactions on Circuits and Systems*, CAS-22, 1975.